

Produkt: Bergets ålder, isotopanalyser

Förändringsförteckning

Här listas förändringar i produkten eller produktbeskrivningen.

Produktversion infördes först i samband med tillhandahållande enligt EU-kommissionens förordning om värdefulla dataset (Kommissionens genomförandeförordning (EU) 2023/138 från 21 december 2022).

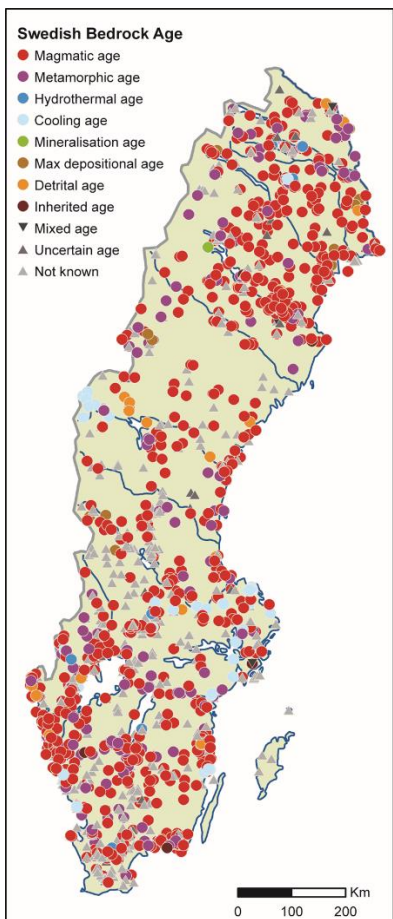
Ändringsförteckning

Dokumentversion	Produktversion	Fastställt datum	Förändring
1.0		2016-03-10	Ursprunglig version
1.1		2017-04-06	Information om symbolisering är uppdaterad, med nya figurer som visar symbolisering och lagerstruktur i lyrfil till leveransformaten esri shape och filgeodatabas. Alias i attributtabell är korrigerade.
2.0	1.0	2024-06-09	Tillhandahållande enligt EU-kommissionens förordning om värdefulla dataset. Nya öppna licensvillkor, distribution som bulknedladdning (GeoPackage) och direktåtkomst (OGC API – Features), symbolisering för ArcGIS Pro och QGIS. Föreningar i datastruktur kan förekomma.

Kort information om produkten

Bergets ålder, isotopanalyser innehåller radiometriska åldersbestämningar av svensk berggrund, sammanlagt ca 2700 poster (Fig. 1). Förutom provets ålder med felmarginal, finns information om provets läge, bergartstyp, daterat material, analysmetod samt hur åldern tolkas etc.

Till varje post finns en litteraturhänvisning till källan för informationen. I källreferensen finns generellt detaljerad information om bakgrund, syfte, metoder, data, diskussion och slutsatser. Engelska används som språk i data.



Figur 1. Kartan visar åldersbestämningar av svenska bergarter, där punkterna är symboliserade på tolkning av ålder.

Licens	CC0 1.0 universell
Koordinatsystem (lagring)	SWEREF99TM (EPSG:3006)

Tillhandahållande

Produkten tillhandahålls dels genom nedladdning av förpaketerade filer (bulknedladdning), dels genom direktåtkomst via standardiserade API-er framtagna av Open Geospatial Consortium (OGC).

Bulknedladdning	
Format	OGC GeoPackage
URL	https://resource.sgu.se/data/oppnadata/bergets-alder/bergets-alder.zip

Direktåtkomst OGC API - Features	
Format	GeoJSON
URL	https://api.sgu.se/oppnadata/bergets-alder/ogc/features/v1

Leveransens innehåll

Filer som medföljer leveransen

Filnamn	Filformat	Innehåll
bergets_alder.gpkg	OGC GeoPackage	alder (punkter)
bergets_alder.lyrx	ArcGIS Pro Layer Definition file	Grupplager med symbolisering för användning i ArcGIS Pro
bergets_alder.qlr	QGIS Layer definition file	Grupplager med symbolisering för användning i QGIS
bergets-alder-beskrivning.pdf	PDF	Produktbeskrivning på svenska
bedrock-age-description-eng.pdf	PDF	Produktbeskrivning på engelska

Tillkomsthistorik och syfte

Informationen är framtagen i samarbete mellan SGU och institutionen för geovetenskaper vid Naturhistoriska riksmuseet i Stockholm. Syftet är att samla alla tillgängliga geokronologiska data från Sverige för forskningsändamål. Informationen är även tänkt att kunna användas inom prospektering, samhällsplanering, och av en bredare allmänhet med intresse för Sveriges berggrund.

Underhåll

Data finns lagrad vid SGU, som har haft huvudansvaret för dess utveckling och är ansvarigt för uppdateringar, underhåll och vidareutveckling. Flera nya parametrar är tillagda under senaste åren, och arbete pågår med att uppdatera informationen för samtliga poster, samt att rätta felaktigheter i data. Upptäcker du eventuella fel eller saknade åldersbestämningar, kontakta gärna SGU:s kundtjänst, kundservice@sgu.se

Datakvalitet

I källreferensen till varje åldersbestämning finns generellt detaljerad information om bakgrund, syfte, metoder, data, datakvalitet, diskussion och slutsatser. Lägesnoggrannheten är varierande, men generellt bättre för åldersbestämningar beskrivna i senare publikationer.

Symbolisering

För ArcGIS och QGIS-användare kan symboliseringen göras med hjälp av bifogade lager-filer. Övriga kan använda sig av tabell nedan.

Åldersbestämningarna visas som två olika valbara lager med olika symbolisering (Fig. 2–3). Det ena lagret visar åldersbestämningarna utifrån de isotopsystem som används, det andra utifrån den tolkning av ålder som gjorts. Dessa lager är i sin tur uppdelade i fler valbara lager för att på så sätt förfina det urval av dateringar som visas. Du kan exempelvis välja att endast visa åldersbestämningar som baseras på isotopsystemet uran-bly (U-Pb), eller att endast visa åldersbestämningar med tolkad metamorf ålder.

Punkterna i kartan symboliseras efter ålder i urvalslagren baserat på ålderstolkning och efter ålderstolkning i urvalslagren baserat på isotopsystem.

Grupplager: Swedish bedrock age

Lagerstruktur	Kopplas till	Urval
Selection based on age interpretation (symbolised by age, million years)		
All ages (symbolised by age, million years)	alder	APPROVED = 1
Magmatic age	alder	APPROVED = 1 AND AGE_INT_TX = 'Magmatic age'
Metamorphic age	alder	APPROVED = 1 AND AGE_INT_TX = 'Metamorphic age'
Hydrothermal ages	alder	APPROVED = 1 AND AGE_INT_TX = 'Hydrothermal age'
Cooling age	alder	APPROVED = 1 AND AGE_INT_TX = 'Cooling age'
Mineralization age	alder	APPROVED = 1 AND AGE_INT_TX = 'Mineralisation age'
Maximum depositional age	alder	APPROVED = 1 AND AGE_INT_TX = 'Maximum depositional age'
Detrital age	alder	APPROVED = 1 AND AGE_INT_TX = 'Detrital age'
Inherited, Uncertain, Mixed ages	alder	APPROVED = 1 AND AGE_INT_TX = 'Inherited age' OR AGE_INT_TX = 'Uncertain age' OR AGE_INT_TX = 'Mixed age'
Not known	alder	APPROVED = 1 AND AGE_INT_TX = 'not known'
Selection based on isotopic system (symbolised by age interpretation)		
All ages (symbolised by age interpretation)	alder	APPROVED = 1
U-Pb	alder	APPROVED = 1 AND ISO_SYS_TX = 'U-Pb'
Pb-Pb	alder	APPROVED = 1 AND ISO_SYS_TX = 'Pb-Pb'
Sm-Nd	alder	APPROVED = 1 AND ISO_SYS_TX = 'Sm-Nd'
Lu-Hf	alder	APPROVED = 1 AND ISO_SYS_TX = 'Lu-Hf'
Rb-Sr	alder	APPROVED = 1 AND ISO_SYS_TX = 'Rb-Sr'
Ar-Ar	alder	APPROVED = 1 AND ISO_SYS_TX = 'Ar-Ar'
K-Ar	alder	APPROVED = 1 AND ISO_SYS_TX = 'K-Ar'
Re-Os	alder	APPROVED = 1 AND ISO_SYS_TX = 'Re-Os'
Fission track	alder	APPROVED = 1 AND ISO_SYS_TX = 'Fission track'

Symbolised by age, million years	Symbolised by age interpretation
■ 59 - 599	● Magmatic age
■ 600 - 909	● Metamorphic age
■ 910 - 1279	● Hydrothermal age
■ 1280 - 1469	● Cooling age
■ 1470 - 1619	● Mineralisation age
■ 1620 - 1735	● Max depositional age
■ 1736 - 1749	● Detrital age
■ 1750 - 1859	● Inherited age
■ 1860 - 1959	▼ Mixed age
■ 1960 - 2970	▲ Uncertain age
	△ Not known

Figur 2 Symbolisering som används i lagerfiler till geopackage i QGIS och ArcGIS Pro.

Contents

Search

Drawing Order

- Map
 - Swedish Bedrock Age
 - Selection based on age interpretation (symbolised by age, million years)
 - All ages (symbolised by age, million years)
 - AGE (Ma)
 - 59 - 599
 - 600 - 909
 - 910 - 1279
 - 1280 - 1469
 - 1470 - 1619
 - 1620 - 1735
 - 1736 - 1749
 - 1750 - 1859
 - 1860 - 1959
 - 1960 - 2970
 - Magmatic age
 - Metamorphic age
 - Hydrothermal ages
 - Cooling age
 - Mineralisation age
 - Maximum depositional age
 - Detrital age
 - Inherited, Uncertain, Mixed ages
 - Not known
 - Selection based on isotopic system (symbolised by age interpretation)
 - All ages (symbolised by age interpretation)
 - Magmatic age
 - Metamorphic age
 - Hydrothermal age
 - Cooling age
 - Mineralisation age
 - Maximum depositional age
 - Detrital age
 - Inherited age
 - ▼ Mixed age
 - ▲ Uncertain age
 - △ Not known
 - U-Pb
 - Pb-Pb
 - Sm-Nd
 - Lu-Hf
 - Rb-Sr
 - Ar-Ar
 - K-Ar
 - Re-Os
 - Fission track

Figur 3 Lagerstruktur som används i lagerfiler

Ingående tabeller

Bergets ålder

Bergets ålder, isotopanalyser innehåller radiometriska åldersbestämningar av svensk berggrund, sammanlagt ca 2700 poster (Fig. 1). Förutom provets ålder med felmarginal, finns information om provets läge, bergartstyp, daterat material, analysmetod samt hur åldern tolkas etc.

Tabell: alder

Kolumnnamn	Alias	Beskrivning	Värdeförråd
idnr_aldr	AGE DATABASE ID	Unikt identifikationsnummer för varje post i tabellen "alder"	
id_sgu	SGU ID	Unikt SGU id för bergartsprov kopplat till berggrundsobservation	
id_alt	ALTERNATIVE ID	Alternativt id för bergartsprov	
id_lab	LAB ID	Laboratorie id för prov	
n_rt90	N (RT90)	Nordlig koordinat (RT90 2,5 gon V)	
e_rt90	E (RT90)	Ostlig koordinat (RT90 2,5 gon V)	
index_rt90	INDEX (RT90)	Kartbladsbeteckning enligt kartprojektion Rikets Triangelnät år 1990 (RT 90 2.5 gon V)	
n_sweref	N (SWEREF)	Nordlig koordinat (SWEREF99TM)	
e_sweref	E (SWEREF)	Ostlig koordinat (SWEREF99TM)	
index_swe	INDEX (SWEREF)	Kartbladsbeteckning enligt kartprojektion SWEREF 99 TM	
locality	LOCALITY	Namn på provlokal	
lithology	LITHOLOGY	Bergart	bergart_aldr_lx
litho_txt	LITHOLOGY COMMENT	Fritextfält för beskrivning av bergart	
lithodem	FORMATION/LITHODEM	Fritextfält för litologisk enhet som formation/litodem	
stratgroup	STRATIGRAPHIC GROUP/SUITE	Fritextfält för stratigrafisk grupp/svit	
litho_sub	LITHOLOGICAL AREA	Litologiskt område	
tect_sub	LITHOTECTONIC SUBUNIT	Litotektonisk delområde	tekt_sub_lx
tect	LITHOTECTONIC UNIT	Litotektoniskt område	tekt_lx
lithostrat	LITHOSTRATIGRAPHIC POSITION	Litostratigrafiskt läge	litolage_lx
strat_pos	STRATIGRAPHIC POSITION	Stratigrafiskt läge	strat_lx
lab	LABORATORY	Namn på Laboratorie	
isot_syst		Isotopsystem	isotop_syst_lx
iso_sys_tx	ISOTOPIC SYSTEM	Isotopsystem	isotop_syst_lx
method	METHOD	Dateringsmetod	method_aldr_lx
mat_dated	DATED MATERIAL	Daterat material	material_dated_lx

age_type	AGE TYPE	Typ av åldersbestämning	age_type_lx
age	AGE (Ma)	Beräknad ålder i miljoner år	
age_error	AGE ERROR (Ma)	Felgräns (+/-) i miljoner år för beräknad ålder (två standardavvikelse)	
age_err_pl	UPPER AGE ERROR (Ma)	Övre felgräns i miljoner år för beräknad ålder (två standardavvikelse)	
age_err_mi	LOWER AGE ERROR (Ma)	Undre felgräns i miljoner år för beräknad ålder (två standardavvikelse)	
age_min	MIN AGE (Ma)	Beräknad minimiålder i miljoner år	
age_max	MAX AGE (Ma)	Beräknad maxålder i miljoner år	
li_age	LI AGE (Ma)	Lägre U-Pb concordia interceptålder i miljoner år	
li_age_err	LI AGE ERROR (Ma)	Felgräns (+/-) i miljoner år för lägre U-Pb concordia interceptålder i miljoner år (två standardavvikelse)	
n_tot	N TOTAL	Totalt antal analyser	
n_calc	N CALC	Antal analyser som används för beräkning av ålder	
mswd	MSWD	Mean Standard Weighted Deviation	
probabilit	PROBABILITY	Sannolikhet	
age_int	AGE INTERPRETATION	Tolkning av beräknad ålder	age_interpretation_lx
age_int_tx	AGE INTERPRETATION	Tolkning av beräknad ålder	age_interpretation_lx
reliability	RELIABILITY	Kvalitetsklassning av datering (under utveckling)	reliability_code_lx
comment_	COMMENT	Fritextfält för kommentarer till datering	
ref_short	REFERENCE SHORT	Kort källreferens till åldersbestämning, t.ex. Andersson & Pettersson 2011	
reference	REFERENCE	Fullständig källreferens till åldersbestämning	
ref_link	REFERENCE LINK	Nedladdningslänk till publikation	
publ_year	PUBLICATION YEAR	Publiceringsår	
inputdate	DATE OF INPUT	Datum för inlägning	
registrat	REGISTRATOR	Namn på registrator	
rev_date	DATE OF REVISION	Datum för revidering	
reviewer	REVIEWER	Namn på person som gjort revidering av data	
approved	APPROVED	Godkänd (=1) visas i karttjänster etc., Ej godkänd (=0), ålder används inte, p.g.a. den har uppdaterats eller omräknats.	
geom		Geometri	

Värdeförråd

Värdeförråd: age_interpretation_lx

age_interpretation	age_interpretation_txt	description
0	not known	
1	Metamorphic age	The time after the main peak of metamorphism when a mineral passes through its closing temperature
2	Inherited age	An older age component in dated material inherited from the source rock. It is common in U-Pb zircon geochronology and can give a false age if age components cannot be separated
3	Detrital age	A detrital rock is a sedimentary rock composed of minerals of pre-existing rocks, thus U-Pb ages of zircon grains in the detrital sedimentary material reflect the ages of the source rocks
4	Cooling age	Time after mineral cooled below its closure temperature, i.e., different minerals have different blocking temperatures at which the specific isotopic system remains closed to isotopic migration
5	Magmatic age	Age of igneous crystallisation, i.e., the time after the solidification of melt when minerals pass below their closing temperature
6	Hydrothermal age	Age of a hydrothermal alteration event
7	Uncertain age	Uncertain age interpretation
8	Mineralisation age	Age of mineralisation event
9	Maximum depositional age	Maximum age of deposition of sediment given by youngest dated mineral in the sample
10	Minimum age	Age is interpreted as a minimum age estimate
11	Maximum age	Age is interpreted as a maximum age estimate
12	Mixed age	Age resulting from mixing of different age components

Värdeförråd: age_type_lx

age_type	age_type_txt	description
0	Not known	
1	Upper intercept age	In a $^{206}\text{Pb}/^{238}\text{U}$ versus $^{207}\text{Pb}/^{235}\text{U}$ diagram the upper intercept of the Concordia and the Discordia lines will reflect the original age
2	Concordant age	A concordia age can be calculated from concordant analyses, i.e., analyses with no lead loss, that plot

		on the concordia line in a 206Pb/238U versus 207Pb/235U diagram
3	207Pb/206Pb age	The equation for calculating the 207Pb/206Pb age is given by combining the decay equations for 238U/206Pb and 235U/207Pb. Thus, age can be determined from the U-Pb system by analysis of Pb isotope ratios alone
4	Plateau age	During step-wise heating 40Ar/39Ar ratios may reach a plateau corresponding to a date that approaches the time elapsed since original cooling of the mineral, i.e. the plateau age
5	Isochron age	A bivariate plot of measured parent-daughter isotope ratios for a suite of cogenetic samples can define a line, an isochron. The slope of the isochron is proportional to the age of the sample
6	Model age	Age represents the time when the sample separated from the chondrite- or depleted mantle reservoir and developed a unique isotopic signature
7	206Pb/238U age	Age calculated from decay equation for 238U to 206Pb
8	Chemical U-Th-Pb age	
9	Lower intercept age	In a 206Pb/238U versus 207Pb/235U diagram the lower intercept of the Concordia and the Discordia lines will reflect the age of lead loss event(s)
10	Weighted average age	The weighted mean weights each individual analyses according to its precision so analyses with a low uncertainty contribute more to the weighted mean than those with high uncertainty
11	Weighted average 207Pb/206Pb age	The weighted mean weights each individual analyses according to its precision so analyses with a low uncertainty contribute more to the weighted mean than those with high uncertainty
12	Weighted average 206Pb/238U age	The weighted mean weights each individual analyses according to its precision so analyses with a low uncertainty contribute more to the weighted mean than those with high uncertainty
13	208Pb/232Th age	Age calculated from decay equation for 232Th to 208Pb

Värdeförråd: bergart_aldr_lx

bergart_id	lithology	bergart_txt
0	Unknown	Okänd
100	Acidic igneous rock	Sur bergart
200	Intermediate composition igneous rock	Intermediär bergart
300	Basic rock	Basisk bergart

400	Ultrabasic igneous rock	Ultrabasisk bergart
500	Ultramafic igneous rock	Ultramafisk bergart
1000	Intrusive rock	Intrusiv bergart
1051	Granitoid	Granitoid
1109	Quartzolite	Kvartslit, kvartssten
11120	Quartz-rich granitoid	Kvartsrik granitoid
1100	Alkali-feldspar granite	Alkalifältspatgranit
11130	Alkaline rock	Alkalin bergart
1058	Granite	Granit
1062	Aplit	Aplit
1061	Pegmatite	Pegmatit
1060	Granophyre	Granofyr
1098	Pegmatite-granite	Pegmatitgranit
11145	Syenogranite	Syenogranit
11146	Monzogranite	Monzogranit
1056	Granodiorite	Granodiorit
1053	Tonalite	Tonalit
1055	Trondhjemite	Trondhjemit
1043	Syenitoid	Syenitoid
11210	Quartz alkali feldspar syenite	Kvartsalkalifältspatsyenit
11220	Alkali-feldspar syenite	Alkalifältspatsyenit
1049	Quartz syenite	Kvartssyenit
1048	Syenite	Syenit
1046	Quartz monzonite	Kvartsmonzonit
1045	Monzonite	Monzonit
11270	Foid bearing alkali feldspar syenite	Foidförande alkalifältspatsyenit
11280	Foid bearing syenite	Foidförande syenit
11290	Foid bearing monzonite	Foidförande monzonit
1030	Dioritoid	Dioritoid
1037	Quartz monzodiorite	Kvartsmonzodiorit
1036	Monzodiorite	Monzodiorit
1038	Quartz diorite	Kvartsdiorit
1033	Diorite	Diorit
11350	Foid bearing monzodiorite	Foidförande monzodiorit
11360	Foid bearing diorite	Foidförande diorit
1020	Gabbro	Gabbro
11410	Quartz monzogabbro	Kvartsmonzogabbro
1105	Monzogabbro	Monzogabbro
1034	Monzonite	Monzonit
1106	Quartz gabbro	Kvartsgabbro

1107	Quartz anorthosite	Kvartsanortosit
1022	Gabbro	Gabbro
1027	Doleritic rock	Diabas
1024	Norite	Norit
1025	Gabbronorite	Gabbronorit
1026	Toctolite	Troctolit
1039	Anorthosite	Anortosit
11470	Foid bearing monzogabbro	Foidförande monzogabbro
11480	Foid bearing gabbro	Foidförande gabbro
11490	Foid bearing anorthosite	Foidförande anortosit
11500	Foid syenitoid	Foidsyenitoid
11510	Foid syenite	Foidsyenit
1050	Nepheline syenite	Nefelinsyenit
11520	Foid monzosyenite	Foidmonzosyenit
11600	Foid dioritoid	Foiddioritoid
11610	Foid monzodiorite	Foidmonzodiorit
11620	Foid diorite	Foiddiorit
11700	Foid gabbroid	Foidgabbroid
11710	Foid monzogabbro	Foidmonzogabbro
11720	Foid gabbro	Foidgabbro
11800	Foidolitoid	Foidolitoid
11810	Foidolite	Foidolit
11830	Melteigite	Melteigit
11840	Ijolite	Ijolit
11850	Urtite	Urtit
1008	Peridotite	Peridotit
1007	Dunite	Dunit
11920	Pyroxene peridotite	Pyroxenperidotit
1103	Harzburgite	Harzburgit
1102	Lherzolite	Lherzolit
1104	Wehrlite	Wehrlit
1012	Pyroxenite	Pyroxenit
1013	Hornblendite	Hornbländit
11940	Melilitolite	Melilitolit
12200	Lamprophyric rock	Lamprofyrisk bergart
1003	Kimberlite	Kimberlit
1001	Lamprophyre	Lamprofyr
1002	Alnöite	Alnöit
12230	Lamproite	Lamproit
1101	Carbonatite	Karbonatit

12310	Sövite	Sövit
12320	Beforsite	Beforsit
12330	Alvikite	Alvikit
12350	Fenite	Fenit
12360	Uncompahgrite	Uncompahgrit
3000	Volcanic rock	Vulkanisk bergart
21100	Rhyolitoid	Ryolitoid
21110	Alkali-feldspar rhyolite	Alkalifältspatryolit
3088	Rhyolite	Ryolit
21200	Dacitoid	Dacitoid
3086	Dacite	Dacit
3104	Trachydacite	Trakydacit
21300	Trachytoid	Trakytoid
21310	Quartz alkali-feldspar trachyte	Kvarts-alkalifältspattrakyt
21320	Alkali-feldspar trachyte	Alkalifältspattrakyt
3106	Quartz-trachyte	Kwartstrakyt
3082	Trachyte	Trakyt
3090	Quartz-latite	Kvartslatit
3080	Latite	Latit
21370	Foid bearing alkali-feldspar trachyte	Foidförande alkalifältspattrakyt
3091	Foid-trachyte	Foidtrakyt
3092	Foid-latite	Foidlatit
22100	Andesitoid	Andesitoid
3074	Andesite	Andesit
3103	Trachyandesite	Trakyandesit
22121	Benmoreite	Benmoreit
22130	Basaltic andesite	Basaltisk andesit
22140	Basaltic trachyandesite	Basaltisk trakyandesit
22141	Mugearite	Mugearit
22142	Shoshonite	Shoshonit
22200	Boninite	Boninit
22300	Fonolitoid	Fonolitoid
3093	Fonolite	Fonolit
3094	Tefritic fonolite	Tefritisk fonolit
23100	Basaltoid	Basaltoid
3072	Basalt	Basalt
3102	Trachybasalt	Trakybasalt
23121	Hawaiite	Hawaiit
23122	K-trachybasalt	K-trakybasalt
23200	Tefritoid	Tefritoid

3096	Fonolitic tefrite	Fonolitisk tefrit
3095	Fonolitic basanite	Fonolitisk basanit
24100	Picro-basalt	Pikrobasalt
24200	Ultramafic tefritoid	Ultramafisk tefritoid
3097	Basanite	Basanit
3098	Tefrite	Tefrit
24250	Melanephelinite	Melanefelinit
24300	Foiditoid	Foiditoid
3101	Foidite	Foidit
3099	Fonolitic foidite	Fonolitisk foidit
3100	Tefritic foidite	Tefritisk foidit
24340	Basanitic foidite	Basanitisk foidit
1014	Picrite	Pikrit
3065	Komatiite	Komatiit
3071	Basaltic komatiite	Basaltisk komatiit
24420	Meimechite	Meimechit
24500	Melilitic rock	Melilitisk bergart
24510	Melilitite	Melilitit
24520	Olivine melilitite	Olivinmelilitit
6000	Sedimentary rock	Sedimentär bergart
6001	Conglomerate	Konglomerat
6005	Breccia	Breccia
6006	Tillite	Tillit
6007	Sandstone	Sandsten
6058	Feldspathic sandstone	Fältspatrik sandsten
6009	Arenite	Arenit
6011	Quartzarenite	Kvartsarenit
6087	Subarkose	Subarkos
6013	Arkosic arenite	Arkosisk arenit
6015	Arkose	Arkos
6017	Litharenite	Litisk arenit
6088	Sublitharenite	Sublitisk arenit
6018	Wacke, greywacke	Vacka, gråvacka
6020	Quartz wacke	Kvartsvacka
6021	Feldspathic graywacke	Fältspatvacka
6022	Lithic greywacke	Litisk vacka
6033	Siltstone	Siltsten
6034	Mudstone	Slamsten
6031	Argillite	Argillit
6063	Claystone	Lersten

6035	Shale	Lerskiffer
6059	Alum shale	Alunskiffer
6060	Marlstone	Märgelsten
6045	Limestone	Kalksten
6047	Dolomite	Dolomit
6049	Magnesite	Magnesit
6066	Anthraconite	Orsten
6067	Reef limestone	Revkalksten
6068	Limestone in an algal mound	Mound-kalksten
6069	Calcirudite	Kalcirudit
6070	Calcarerite	Kalkarenit
6071	Calcilutite	Kalcilutit
6072	Biosparite	Biosparit
6073	Oosparite	Oosparit
6074	Pelsparite	Pelsparit
6075	Intrasparite	Intrasparit
6076	Biolithite	Biolitit
6077	Biomicrite	Biomikrit
6078	Oomicrite	Oomikrit
6079	Pelmicrite	Pelmicrit
6080	Intramicrite	Intramikrit
6081	Dismicrite	Dismikrit
6051	Chemical rock	Kemisk sedimentbergart
6052	Chert	Chert, silex
6053	Jasper, jaspilite	Jaspis, jaspilit
6082	Evaporite	Evaporit
6092	Pisolite	Pisolit
6083	Sediment	Sediment
6085	Cobble	Sten
6061	Sand	Sand
6064	Clay	Lera
6065	Marl	Märgel
9078	Bentonite	Bentonit
6089	Encrinite	Krinoideekalksten
6090	Stromatoporoid limestone	Stromatoporoidkalksten
6091	Algal limestone	Algkalksten
8100	Schist	Skiffer (schist)
8101	Gneiss	Gnejs
8102	Granofels	Granofels
5078	Orthogneiss	Ortognejs

7056	Paragneiss	Paragnejs
8103	Phyllite	Fyllit
8104	Slate	Skiffer (slate)
8105	Mica schist	Glimmerskiffer
8106	Greenschist	Grönskiffer
8107	Greenstone	Grönsten
8108	Amphibolite	Amfibolit
8109	Serpentinite	Serpentinit
8110	Soapstone	Täljsten
8111	Quartzite	Kvartsit
7044	Marble	Marmor
7046	Calcitic marble	Kalcitmarmor
7048	Dolomitic marble	Dolomitmarmor
7050	Magnesitic marble	Magnesitmarmor
8112	Carbonate-silicate rock	Kalksilikatbergart
8113	Skarn	Skarn
8018	Hornfels	Hornfels
8007	Granulite	Granulit
8060	Mafic granulite	Mafisk granulit
8061	Felsic granulite	Felsisk granulit
5091	Eclogite	Eklogit
8064	Tourmalite	Turminalinit
8114	Migmatite	Migmatit
8004	Mylonite	Mylonit
8005	Phyllonite	Fyllonit
8001	Blastomylonite	Blastomylonit
8003	Cataclasite	Kataklasit
8002	Fault breccia	Förkastningsbreccia
8055	Quartz cemented fault breccia	Kvartsläkt förkastningsbreccia
8006	Pseudotachylite	Pseudotachylit
8020	Hydrothermal dyke or segregation	Hydrotermal gång eller segregation
8056	Hydrothermal vein or segregation of epidote	Epidotdominerad hydrotermal gång eller segregation
8023	Metasomatic rock	Hydrotermal omvandlingsbergart
8054	Oxidized rock (red-coloured)	Oxiderad bergart (rödfärgad)
8016	Supracrustal rock	Ytbergart
5000	Magmatic rock	Magmatisk bergart
8000	Metamorphic rock	Metamorf bergart
5105	Hybrid rock	Hybridbergart
6093	Clastisk sedimentary rock	Klastisk sedimentär bergart

6094	Calcareous sedimentary rock	Karbonatisk sedimentär bergart
9000	Mineral occurrence	Mineralförekomst
9100	Metallic mineral occurrence	Metallisk mineralförekomst
9101	Platinum group metal mineralisation	Platinagruppmetallmineralisering
9200	Sulphide mineralisation	Sulfidmineralisering
9201	Copper mineralisation	Kopparmineralisering
9202	Zinc mineralisation	Zinkmineralisering
9203	Lead mineralisation	Blymineralisering
9204	Iron sulphide mineralisation	Järnsulfidmineralisering
9205	Cobalt mineralisation	Koboltmineralisering
9206	Molybdenum mineralisation	Molybdenmineralisering
9207	Nickel mineralisation	Nickelmineralisering
9300	Oxide mineralisation	Oxidmineralisering
9301	Iron oxide mineralisation	Järnoxidmineralisering
9302	Skarn iron ore	Skarnjärnmalm
9303	Quartz-banded iron ore	Kvartsbandad järnmalm
9304	Apatite iron ore	Apatitjärnmalm
9305	Iron titanium oxide mineralisation	Järn-titanoxidmineralisering
9306	Chromium mineralisation	Krommineralisering
9307	Manganese mineralisation	Manganmineralisering
9308	Niobium mineralisation	Niobmineralisering
9309	Tin mineralisation	Tennmineralisering
9310	Titanium mineralisation	Titanmineralisering
9311	Uranium mineralisation	Uranmineralisering
9312	Tungsten mineralisation	Volframmineralisering
9400	Precious metal mineralisation	Ädelmetallmineralisering
9401	Silver mineralisation	Silvermineralisering
9402	Gold mineralisation	Guldmineralisering
9500	Non-metallic mineral occurrence	Ickemetallisk mineralförekomst
9501	Diatomite	Diatomit (kiselgur)
9502	Coal	Kol (stenkol)
9503	Rock salt	Salt (stensalt)
9504	Gemstone	Ädelsten

Värdeförråd: isotop_syst_lx

isot_syst	isot_syst_txt	description
0	Not known	
1	U-Pb	The U-Pb method relies on two separate decay chains, ^{238}U to ^{206}Pb and ^{235}U to ^{207}Pb
2	Rb-Sr	The utility of the rubidium-strontium isotope system results from the fact that ^{87}Rb (one of the isotopes of rubidium) decays to ^{87}Sr
3	Sm-Nd	Samarium-neodymium isochron dating is based on decay of a long-lived samarium isotope, ^{147}Sm to a radiogenic neodymium isotope, ^{143}Nd
4	Re-Os	Rhenium-Osmium isochron dating is based on the beta decay of the isotope ^{187}Re to ^{187}Os
5	K-Ar	Potassium argon dating is based on the radioactive decay of an isotope of potassium (^{40}K) into argon (^{40}Ar)
6	Ar-Ar	Argon-argon ($^{40}\text{Ar}/^{39}\text{Ar}$) radiometric dating is based on the decay of potassium (^{40}K) into argon (^{40}Ar) and on the formation of ^{39}Ar by the irradiation of K-bearing samples in a nuclear reactor
7	Fission track	The number of fission tracks (damage trails) produced from the spontaneous decay of uranium-238 in common accessory minerals date the time of rock cooling below closure temperature
8	Pb-Pb	Dating method based on the comparison ratios of isotopes of lead (Pb) derived from uranium and thorium decay. The radiogenic daughter Pb isotopes ^{206}Pb and ^{207}Pb are measured and normalized by dividing by the stable non-radiogenic isotope, ^{204}Pb
9	U-Th_Pb	The U-Th-Pb geochronology relies on the decay schemes, ^{238}U to ^{206}Pb , ^{232}Th to ^{208}Pb ^{235}U to ^{207}Pb
10	Lu-Hf	Lu-Hf geochronology is based on the decay scheme ^{176}Lu to ^{176}Hf
11	(U-Th)/He	Dating method based on helium produced a result of alpha decay from uranium and thorium isotopes

Värdeförråd: material_dated_lx

material_dated	material_dated_txt	description
0	Not known	
1	Whole rock	Whole rock sample
2	Zircon	Zirconium silicate (ZrSiO_4)
3	Monazite	Cerium Lanthanum Thorium Neodymium Yttrium Phosphate ($\text{Ce}, \text{La}, \text{Th}, \text{Nd}, \text{Y}\text{PO}_4$)

4	Titanite	Calcium titanium nesosilicate mineral (CaTiSiO ₅)
5	Apatite	Group of phosphate minerals, usually referring to hydroxyapatite, fluorapatite, chlorapatite and bromapatite
6	Garnet	Group of silicate minerals with the general formula X ₃ Y ₂ Si ₃ O ₁₂ where X represents Ca, Fe ²⁺ , Mn, or Mg and Y represents Al, Cr, or Fe ³⁺
7	Biotite	Phyllosilicate mineral within the mica group, with the approximate chemical formula K(Mg,Fe) ₃ AlSi ₃ O ₁₀ (F,OH) ₂ .
8	Hornblende	Complex inosilicate series of minerals, the name hornblende is used as a general or field term, to refer to a dark amphibole with a general formula (Ca,Na) ₂₋₃ (Mg,Fe,Al) ₅ (Al,Si) ₈ O ₂₂ (OH,F) ₂
9	Muscovite	Phyllosilicate mineral of aluminium and potassium with formula KAl ₂ (AlSi ₃ O ₁₀)(F,OH) ₂
10	Baddeleyite	Zirconium oxide mineral (ZrO ₂)
11	Molybdenite	Molybdenum sulphide (MoS ₂)
12	Allanite	Allanite is a sorosilicate group of minerals within the broader epidote group that contain a significant amount of rare earth elements.(Ce,Ca,Y,La) ₂ (Al,Fe ³⁺) ₃ (SiO ₄) ₃ (OH).
13	K-feldspar	Potassium feldspar, Potassium aluminium tectosilicate mineral (KAISi ₃ O ₈)
14	Adularia	Low temperature variety of K-feldspar, potassium aluminium tectosilicate (KAISi ₃ O ₈)
15	Scheelite	Calcium tungstate tetragonal mineral with the chemical formula CaWO ₄
16	Xenotime	Rare earth phosphate mineral, whose major component is yttrium orthophosphate (YPO ₄).
17	Columbite-Tantalite	Orthorhombic iron, manganese, niobium-tantalum oxide. A complete solid solution exists between Columbite (Fe, Mn)Nb ₂ O ₆ and Tantalite (Fe, Mn)Ta ₂ O ₆ .
18	Multi mineral	Multi mineral
19	Uraninite	Uranium-rich mineral with a chemical composition that is largely UO ₂ .
21	Sphalerite	Zinc iron sulphide (Zn,Fe)S
22	Pyrite	Iron sulphide FeS ₂
23	Calcite	Calcium carbonate (CaCO ₃).
24	Haiweeite	Hydrous calcium uranium silicate Ca[(UO ₂) ₂ Si ₅ O ₁₂ (OH) ₂]·3(H ₂ O)
25	Uranophane	Hydrous calcium uranium silicate Ca(UO ₂) ₂ (SiO ₃ OH) ₂ ·5H ₂ O
26	Eudialyte	Na-Ca-Zr-cyclosilicates, hosting significant amounts of Fe, Mn, REE, Y, Nb, Hf, Ti, K, Sr, Cl, F, H ₂ O and OH groups; Na ₁₅ Ca ₆ (Fe,Mn) ₃ Zr ₃ Si ₆ O ₁₆ (OH) ₂ (Si ₃ O ₉) ₂ (Si ₉ O ₂₇) ₂ (OH,Cl) ₂
27	Illite	Group of closely related non-expanding clay minerals (K,H ₃ O)(Al,Mg,Fe) ₂ (Si,Al) ₄ O ₁₀ [(OH) ₂ ·(H ₂ O)]
20	Other phase (see comment)	Other phase (see comment)

Värdeförråd: method_aldr_lx

method	method_txt	description
0	Not known	
1	ID-TIMS	Isotope Dilution Thermal Ionisation Mass Spectrometry involves dissolution of the material in the presence of tracer isotopes
2	N-TIMS	Negative Thermal Ionization Mass Spectrometry
3	SIMS	Secondary Ion Mass Spectrometry (microbeam technique)
4	Kober Pb-Pb evaporation	Pb-Pb zircon dating method, where Pb is evaporated in situ from zircons grains in the mass spectrometer
5	ICP-MS	Inductively Coupled Plasma Mass Spectrometry
6	Laser ICP-MS	Laser Ablation Inductively Coupled Plasma Mass Spectrometry (microbeam technique)
7	Step-wise heating	Incremental heating technique with progressive outgassing e.g., argon from the sample. Step-heating of the sample to higher and higher temperatures until the sample is fused, allows calculating ages for each step, used in e.g., 40Ar/39Ar dating
8	Total fusion	40Ar/39Ar geochronology releasing argon in a single step
9	UV-laser 40Ar/39Ar dating	Laser heating 40Ar/39Ar geochronology
10	EMP U-Th total-Pb	Electron Microprobe U-Th-Pb chemical dating technique used for monazite
11	Multicollector noble gas MS	Multicollector noble gas mass spectrometry

Värdeförråd: reliability_code_lx (under utveckling, ej implementerad)

reliability	reliability_txt
0	Not classified
1	High reliability
2	Medium reliability
3	Low reliability
4	Data and Metadata is not presented

Värdeförråd: litolage_lx

lithostrat	lithostrat_txt
0	
1	Killerödsformationen

2	Sularpsformationen
3	Mossenformationen
4	Almelundaskiffer
5	Lindegårdsslamsten
6	Björkåsholmenformationen
7	Dalasandsten
8	Undre Visbyformationen
9	Övre Visbyformationen
10	Höglintsformationen
11	Toftaformationen
12	Hangvarformationen
13	Slite gruppen
14	Fröjelfformationen
15	Hallaformationen
16	Klinnebergsformationen
17	Hemsegruppen
18	Ethelhemsformationen
19	Närformationen
20	Sudretgruppen
21	Ekeformationen
22	Burgsviksformationen
23	Hamraformationen
24	Sundreformationen
25	Petesformationen
26	Levideformationen
27	Visbygruppen
28	Hallgruppen
29	Katrinelundsformationen
30	Fleringeformationen
31	Eskelhemformationen
32	Buttlegruppen
33	Lännaformationen
100	Hardebergaformationen
110	Lunkabergsledet
120	Vikledet
130	Branteviksledet
140	Tobisviksledet
200	Norretorpformationen
300	Rispebergsandsten
400	Gislövsformationen

450	File Haidarformationen
475	Borgholmformationen
500	Alunskifferformationen
510	Exulanskalksten
520	Andrarumskalksten
530	Paradoxideskiffer
540	Olenidskiffer
550	Dictyonemaskiffer
600	Ceratopygekalksten
700	Töyenskiffer
800	Komstadkalksten
850	Kvarneformationen
875	Klasenkalksten
900	Övre Didymograptusskiffer
1000	Dicellograptusskiffer
1100	Jerrestadslager
1200	Tommarslager
1300	Rastritesskiffer
1400	Cyrtograptusskiffer
1500	Colonusskiffer
1600	Buntsandsten
1610	Ljunghusensandsten
1620	Buntsandsten
1700	Maglarpformationen
1710	Maglarp C
1720	Maglarp B
1730	Maglarp A
1800	Kågerödsformationen
1810	Kågerödsarkos
1820	Kågerödslera
1900	Röddingeformationen
2000	Höörformationen
2010	Stanstorpsleddet
2020	Vittserödsleddet
2100	Höganäsformationen
2110	Vallåkraledet
2120	Bjuvsleddet
2130	Helsingborgsleddet
2200	Ryaformationen
2210	Döshultsleddet

2220	Pankarpsledet
2230	Katslösaledet
2240	Rydebäcksledet
2250	Röddingeformationen
2300	Mariedalsformationen
2310	Fuglundaledet
2320	Glassand ledet
2400	Vilhelmsfältformationen
2500	Anneroformationen
2510	Fortunaledet
2520	Fyledalsledet
2530	Nytorpsledet
2540	Vitabäcksledet
2600	Vombformationen
2610	Tosterupskonglomerat
2620	Lyckåsmärgel
2630	Köpingesandsten
2710	Aptskiffer
2720	Arnagergrönsand
2800	Höllvikenformationen
2810	Arnagerkalksten
2820	Granviksledet
2830	Lundaledet
2840	Kyrkheddingeledet
2850	Hansaledet
2860	Krusebergsledet
2870	Limhamnsledet
2880	Köpenhamnsledet
2910	Lellingegrönsand
2920	Svedalamärgel
2930	Bosarplersten
3005	Östbergsporfyr
3030	Vemdalskvartsit
3050	Moskiffer
3060	Kläppeskiffer
3065	Töyenskiffer
3070	Brunflokalksten
3075	Locknebreccia
3080	Isökalksten
3090	Andersöskiffer

3095	Öråskiffer
3100	Föllingeturbidit
3115	Kullsberg kalkstenskropp
3120	Slandromkalksten
3130	Furulundskalksten
3140	Fjäckaskiffer
3145	Boda kalkstenskropp
3150	Kogstaskiffer
3160	Kyrkåskvartsit
3170	Edekvartsit
3180	Bergekalksten
3190	Bångåsenskiffer
3200	Ekebergturbidit (gråvacka)
3210	Rödeformationen (sandsten)
3500	Visingsögruppen
3510	Lermundasandsten
4100	Torneträskformationen
4110	Gärdsjöformationen
4120	Fjällbrännaformationen
4130	Norråkerformationen
4140	Långmarkbergsformationen
4150	Kalvbergsformationen
4160	Risbäcksgruppen
4170	Grammajukkaformationen
4171	Lejaren
4173	Avardo
4175	Daunasvaggeenheten
4177	Tjidtjakvulkaniten
4179	Juronkvartsit
4180	Såvvovareformationen
4190	Sjoutälvsgruppen
5300	Ceratopyge-, Latorp- och Lannakalksten
5400	Holenkalksten
5500	Segerstad-, Skärlöv- och Sebykalksten
5600	Folkeslund-, och Furudalkalksten
5700	Dalbykalksten
10000	Öved-Ramsåsa grupp
10100	Klintaformationen
10110	Lunnarnaaledet
10120	Bjärledet

10130	Bjärsjöledet
10140	Bjärsjölagårdsledet
10200	Övedsformationen
20501	Filipstadstyp
20502	Hagforstyp
20503	Tvingsgranit
21100	Utös lägre sedimentära formation
21200	Sången-/Vasslandformationen
21300	Älgen-/Uskenformationen
21310	Bredsjöns vulkaniska silt- sandstensled
21320	Sikfors vulkaniska siltstensled
21330	Hälgsnäs svartskiffer-gråvacke-konglomerat-tuffitled
21400	Storsjöformationen
21500	Torrvarpen-/Mårdshytteformationen
21510	Grythyttans svartskifferled
21520	Hällefors gråskifferled
21610	Älvstorpskonglomeratet
21700	Skelleftegruppen
21800	Arvidsjaurgruppen
21810	Pertitmonzonitsvitén, Jörn G IV (ca 1,88-1,86 Ga)
21900	Vargforsgruppen
22100	Bottniska gruppen
22400	Ca 1,95 Ga intrusivbergarter i Skelleftefältet
22500	Ca 1,90 Ga intrusivbergarter i Skelleftefältet
22600	Kalkalkalina intrusivbergarter (1,89-1,85 Ga) i Skelleftefältet
22610	Kalkalkalina intrusivbergarter (1,95-1,85 Ga) i Skelleftefältet, Jörn G II
23000	Hyperitdiabas
23100	Suumi 2,5-2,39 Ga
23200	Intrusivbergarter ca 2,44 Ga
23300	Sariol 2,39-2,33 Ga
23400	Jatul 2,33-2,06 Ga
23500	Ludikow 2,06- 1,95
23600	Intrusivbergarter av Pingisvaaratyp ca 1,85 Ga
23700	Snavva-Sjöfallsgruppen, Maatavaara kvartsitgrupp mfl
30000	Visingsögruppen

Värdeförråd: strat_lx

strat_code	stratigraphic_position
0	Stratigraphic position unknown
1	Precambrian >0.54 Ga
10	Archean >2.5 Ga
50	Archean to Paleoproterozoic >1.6 Ga
55	Proterozoic 2.5-0.54 Ga
60	Basalt-andesite formation (Kovogroup)
80	Supracrustal rock c. 2.4-1.96 Ga (Karelian)
100	Paleoproterozoic 2.5-1.6 Ga
101	Blekinge Coastal (ortho-) Gneiss
102	Västanå Group
104	Supracrustal rock c. 2.5-2.39 Ga
105	Intrusive rock c. 2.44 Ga
106	Supracrustal rock c. 2.39-2.33 Ga
107	Supracrustal rock c. 2.33-2.06 Ga
108	Supracrustal rock c. 2.06-1.96 Ga
110	Supracrustal rock c. 1.96-1.86 Ga (Svecofennian)
120	Intrusive rock GDG/GSDG c. 1.96-1.87 Ga (Early Svecokarelian)
122	Intrusive rocks in the Skellefte field (c. 1.95 Ga)
123	Intrusive rocks in the Skellefte field (c. 1.90 Ga)
124	Calk-alkaline intrusive rocks in the Skellefte field (c. 1.95-1.85 Ga)
126	Calk-alkaline intrusive rocks in the Skellefte field. Jörn G II (c. 1.95-1.85 Ga)
128	Perthite Monzonite Suite. Jörn G IV (c. 1.88-1.86 Ga)
130	Intrusive rock GSDG c. 1.88-1.86 Ga
136	Intrusive rocks of Pingisvaara type (c. 1.85 Ga)
140	Intrusive rock GP c. 1.83-1.75 Ga
141	Migmatite granite
142	Fellingsbro type Granite
146	Intrusive rock GP c. 1.87-1.82 Ga
148	Calk-alkaline granitoids (c. 1.83-1.82 Ga)
150	Intrusive rock GSDG c. 1.87-1.66 Ga
152	Intrusive rock GSDG c. 1.87-1.82 Ga
153	Intrusive rock GSDG c. 1.81-1.66 Ga
154	Intrusive rock GSDG c. 1.81-1.76 Ga
156	Intrusive rock GSDG c. 1.71-1.66 Ga
158	Intrusive rock GSDG c. 1.87-1.76 Ga

159	TIB (c. 1.81-1.75 and c. 1.70-1.65 Ga)
160	Sedimentary rock related to TMB (c. 1.81-1.65 Ga)
170	Metamorphic rock 1.87-1.84 Ga
199	Stratigraphic position unknown
200	Paleo- and Mesoproterozoic rock west of the MZ
210	Supracrustal rock (> 1.6 Ga?)
220	A-group intrusive rock (> 1.6 Ga)
230	Supracrustal rock (c. 1.68-1.60 Ga)
240	B-group intrusive rock (c. 1.68-1.53 Ga)
250	Intrusive rock of crustal origin related to B-group
300	Meso- to Neoproterozoic 1.6-0.54 Ga
302	Meso- and Neoproterozoic dyke rock
310	Rapakivi intrusive and associated rock (c. 1.58-? Ga)
320	Dyke rock (c. 1.55 Ga)
330	Intrusive rock (c. 1.40 Ga)
335	Dyke rock (c. 1.37 Ga)
340	Supracrustal rock > c. 1.27 Ga (Jotnic)
350	Dyke rock (c. 1.25-1.20 Ga)
360	Syenite (c. 1.25-1.20 Ga)
362	Charnockite (c. 1.2 Ga; AMCG group)
366	Mangerite and jotunite (c. 1.2 Ga; AMCG group)
368	Anorthosite (c. 1.2 Ga; AMCG group)
370	Dyke rock (c. 1.18 Ga)
380	Dyke rock (c. 1.0-0.9 Ga)
385	Alkaline dyke
390	Dyke rock (0.9 or 1.2 Ga)
400	Meso- to Neoproterozoic rock west of MZ
410	C-group magmatic rock (c. 1.51-1.18 Ga)
411	C1-intrusive rock
414	C2-intrusive rock
417	C3-intrusive rock
430	C3-intrusive rock
450	Supracrustal rock 1.13-1.11 Ga
451	Sedimentary rock
454	Volcanic rock
457	Sedimentary rock
460	D-group intrusive rock (c. 1.1-0.9 Ga)
600	Neoproterozoic to Phanerozoic <1.0 Ga
601	Neoproterozoic 1.0-0.54 Ga
602	Rifeikum 1.60-0.650 Ga

603	Vendian 0.650-0.545 Ga
604	Vendian-Cambrian 0.650-0.495 Ga
605	Phanerozoic < 0.545 Ga
606	Palaeozoic 0.545-0.250 Ga
607	Early Palaeozoic 0.545-0.417 Ga
608	Cambrian 0.545-0.495 Ga
609	Early Cambrian 0.545-0.520 Ga
610	Middle Cambrian 0.520-0.500 Ga
611	Late Cambrian 0.500-0.495 Ga
612	Ordovician 0.495-0.440 Ga
613	Oeland (Early Ordovician)
614	Viru (Middle Ordovician)
615	Harju (Late Ordovician)
616	Silurian 0.440-0.417 Ga
617	Llandovery (Early Silur) 0.440-0.428 Ga
618	Wenlock (Middle Silurian) 0.428-0.423 Ga
619	Ludlow/Pridoli (Late Silurian) 0.423-0.417 Ga
620	Late Palaeozoic 0.417-0.250 Ga
621	Devonian 0.417-0.354 Ga
622	Carboniferous 0.354-0.292 Ga
623	Permian 0.292-0.250 Ga
624	Early Permian
625	Late Permian
626	Mesozoic 0.250-0.066 Ga
627	Triassic 0.250-0.205 Ga
628	Early Triassic 0.250-0.242 Ga
629	Middle Triassic 0.242-0.227 Ga
630	Late Triassic 0.227-0.205 Ga
631	Jurassic 0.205-0.142 Ga
632	Early Jurassic 0.205-0.180 Ga
633	Middle Jurassic 0.180-0.159 Ga
634	Late Jurassic 0.159-0.142 Ga
635	Cretaceous 0.142-0.066 Ga
636	Early Cretaceous 0.142-0.099 Ga
637	Late Cretaceous 0.099-0.066 Ga
638	Cenozoic < 0.066 Ga
639	Tertiary 0.066-0.002 Ga
640	Paleogene 0.066-0.024 Ga
641	Paleocene (Early Paleogene) 0.066-0.055 Ga
642	Oligocene (Late Paleogene) 0.034-0.024 Ga

643	Neogene 0.024-0.002 Ga
644	Miocene (Early Neogene) 0.024-0.005 Ga
645	Pliocene (Late Neogene) 0.005-0.002 Ga
650	Quaternary < 0.002 Ga
660	Cambrian-Ordovician 0.545-0.440 Ga
661	Sinian 0.800-0.545 Ga
662	Sturtian 0.800-0.650 Ga
663	Early Devonian 0.417-0.391 Ga
664	Middle Devonian 0.391-0.370 Ga
665	Late Devonian 0.370-0.354 Ga
666	Early Carboniferous 0.354-0.320 Ga
667	Late Carboniferous 0.320-0.292 Ga
668	Middle Permian
669	Eocene (Middle Paleogene) 0.055-0.034 Ga
670	Pridoli 0.419-0.416 Ga
672	Harju-Llandovery
674	Ludlow 0.423-0.419 Ga
676	Furongian 0.501-0.488 Ga
678	Cisuralian 0.299-0.270 Ga
680	Guadalupian 0.270-0.260 Ga
682	Lopingian 0.260-0.251 Ga
684	Pleistocene 1.8-0.0115 Ma
686	Holocene < 0.0115 Ma
688	Mississippian 0.359-0.318 Ga
690	Pennsylvanian 0.318-0.299 Ga
692	Ediacaran c. 0.630-0.542 Ga
694	Ediacaran-Cambrian c. 0.630-0.495 Ga
700	Paleoproterozoic rock east of MZ and west of PZ
710	Supracrustal rock (> c. 1.7 Ga?)
720	Intrusive rock (orthogneiss c. 1.7-1.6 Ga)
721	Intrusive rock (orthogneiss c. 1.7-1.6 Ga. probably of TMB origin)
730	Intrusive rock (c. 1.58-1.47 Ga)
750	Paleo- and Mesoproterozoic rock east of the MZ and west of the PZ
800	Meso- and Neoproterozoic rock east of the MZ and west of the PZ
810	Supracrustal rock c. 1.60 Ga
824	Intrusive rock (c. 1.4 Ga)
850	Paleo- to Mesoproterozoic c. 1.62-1.59 Ga
852	Paleoproterozoic c. 1.66-1.61 Ga

854	Paleoproterozoic c. 1.87-1.66 Ga
856	Paleoproterozoic c. 1.87-1.75 Ga
858	Paleoproterozoic c. 1.88-1.86 Ga
860	Paleoproterozoic c. 1.96-1.86 Ga
862	Paleoproterozoic c. 2.4-1.96 Ga
864	Paleoproterozoic c. 2.44 Ga
866	Paleoproterozoic c. 2.5-2.39 Ga
868	Meso- to Neoproterozoic 1.59-0.92 Ga
870	Mesoproterozoic 1.6-1.0 Ga
872	Mesoproterozoic 1.13-1.11 Ga
900	Paleo- to Mesoproterozoic 2.5-1.0 Ga
901	Intrusive rock c. 2.4-1.96 Ga (Karelian)
902	Intrusive rock GDG c. 1.87-1.82 Ga
903	Supracrustal rock 1.86-1.82 Ga
904	Supracrustal rock c. 1.82-1.78 Ga
905	Intrusive rock GDG c. 1.81-1.76 Ga
906	Supracrustal rock c. 1.71-1.69 Ga
907	Intrusive rock GDG c. 1.73-1.66 Ga
908	Intrusive rock GDG c. 1.87-1.66 Ga
909	Intrusive rock GDG c. 1.87-1.76 Ga
910	Intrusive rock GDG c. 1.81-1.66 Ga
911	Supracrustal rock c. 1.66-1.61 Ga
912	Intrusive rock GDG c. 1.62-1.59 Ga
913	Intrusive rock c. 1.53-1.45 Ga
914	Intrusive rock c. 1.46-1.29 Ga
915	Intrusive rock c. 1.27-1.20 Ga
916	Intrusive rock c. 1.59-1.20 Ga
917	Intrusive rock c. 1.20-1.17 Ga
918	Intrusive rock c. 1.00-0.92 Ga
919	Intrusive rock c. 1.20-0.92 Ga
920	Intrusive rock c. 1.59-1.53 Ga
921	Intrusive rock c. 1.59-0.92 Ga
922	Terreneuvian 0.542-0.521 Ga
923	Cambrian Serie 2 0.521-0.510 Ga
924	Cambrian Serie 3 0.510-0.499 Ga
925	Precambrian 4.60-0.542 Ga
926	Hadean (informal) 4.60-4.00 Ga
927	Foarchean 4.00-3.60 Ga
928	Paleoarchean 3.60-3.20 Ga
929	Mesoarchean 3.20-2.80 Ga

930	Neoarchean 2.80-2.50 Ga
931	Neoarchean 1 2.80-2.65 Ga
932	Neoarchean 2 2.65-2.50 Ga

Värdeförråd: tekt_lx

tect	tect_unit
0	Unknown
87	Caledonian Orogen
337	Svecokarelian Orogen
346	Post-Svecokarelian, Proterozoic rocks
368	Blekinge-Bornholm orogen
378	Sveconorwegian Orogen
394	Neoproterozoic and Phanerozoic platformal cover and igneous rocks

Värdeförråd: tekt_sub_lx

tect_sub	tect_subunit
0	unknown
72	Seve Nappe Complex
79	Köli Nappe Complex
86	Rödingsfjället Nappe Complex
346	Post-Svecokarelian, Proterozoic rocks
368	Blekinge-Bornholm orogen
387	Eastern Segment, upper unit
388	Eastern Segment, middle unit
389	Eastern Segment, lower unit
390	Idefjorden Terrane
394	Neoproterozoic and Phanerozoic platformal cover and igneous rocks
1749	Jämtlandian, Offerdal and Särv Nappes
1750	Överkalix lithotectonic unit
1751	Norrbotten lithotectonic unit
1752	Bothnia-Skellefteå lithotectonic unit
1753	Ljusdal lithotectonic unit
1754	Bergslagen lithotectonic unit
1755	Småland lithotectonic unit

